

Dans les parties I et II, E est toujours un \mathbb{R} -espace vectoriel de dimension finie n .

I/ Géométrie affine

1) Le groupe affine

Déf 1: On appelle espace affine un ensemble E sur lequel le groupe $(E, +)$ agit à droite, transitivement et librement. On note π, π_1, \dots les points, qui sont des éléments de E , et \vec{x}, \vec{y}, \dots les vecteurs, qui sont des éléments de E .

Prop 2: les translations $t_{\vec{x}}: \pi \rightarrow \pi + \vec{x}$ forment un sous-groupe du groupe S_E des bijections de E sur E , isomorphe à E .

Déf 3: Soient E et E' deux \mathbb{R} -espaces vectoriels, \mathcal{E} et \mathcal{E}' deux espaces affines sur E et E' resp. $f: \mathcal{E} \rightarrow \mathcal{E}'$ est une application affine si il existe $r_f: E \rightarrow E'$ linéaire telle que $\forall \pi \in E, \forall \vec{x} \in E, f(\pi + \vec{x}) = f(\pi) + r_f(\vec{x})$, soit $\forall \vec{x} \in E, f \circ t_{\vec{x}} = t_{r_f(\vec{x})} \circ f$.

Déf et prop 4: les automorphismes de E forment un groupe pour la composition, noté $\text{Aut}(E)$ et nommé groupe affine de E .

Prop 5: $\circ: \text{Aut}(E) \rightarrow \text{GL}(E), f \mapsto r_f$ est un morphisme surjectif de groupes, de noyau l'ensemble T des translations de E , sous-groupe commutatif distingué de $\text{Aut}(E)$.

2) Sous-groupe des homothéties

Déf et prop 6: Pour tout $A \in E$ et tout $\lambda \in \mathbb{R}^*$, $\tilde{\circ}: \pi \mapsto A + \lambda A\pi$ est une application affine, nommée homothétie de centre A et de rapport λ , qui vérifie $r_{\tilde{\circ}A} = \lambda \text{Id}_E$.

Prop 7: Soit $H = \{f \in \text{Aut}(E) / \exists \lambda \in \mathbb{R}^*, r_f = \lambda \text{Id}_E\}$. H est un sous-groupe distingué de $\text{Aut}(E)$; en outre, T est un sous-groupe distingué de H , et pour tout $A \in E$, le groupe H_A des homothéties de centre A est un sous-groupe de H .

Appli 8: théorème de Pappus (cf figures 1)

3) Orientation d'un espace affine

Déf 9: Un système $(O, \vec{e}_1, \dots, \vec{e}_n)$, formé d'un point O de E et d'une base $(\vec{e}_1, \dots, \vec{e}_n)$ de E , est appelé repère cartésien de E .

Prop 10: Une application affine $f: E \rightarrow E'$ préserve un repère de E si et seulement si elle est égale à l'application identité.

Thm 11: E est isomorphe à l'espace affine canonique $E_n(\mathbb{R})$ défini par $E = E$ et l'action par translation.

Déf 12: Deux repères cartésiens R et R' sont de même orientation si et seulement si l'unique isomorphisme affine f de E qui envoie R sur R' vérifie $\det(r_f) > 0$.

Thm 13: Pour une orientation de E déterminée, par le choix d'un repère R , l'ensemble $(\text{Aut}(E))^{+}$ des automorphismes affines directs de E , qui est l'ensemble des éléments f de $\text{Aut}(E)$ tels que R et $f(R)$ ont même orientation, est un sous-groupe distingué d'indice 2 de $\text{Aut}(E)$.

II/ Géométrie euclidienne

1) Espace euclidien et groupe des isométries

Déf 14: On appelle espace euclidien de dimension n un espace affine E sur un espace vectoriel euclidien \mathbb{E} de dimension n .

Déf 15: On appelle endomorphisme orthogonaux de E un endomorphisme $v \in GL(E)$ qui vérifie:
 $\forall x \in E, \|v(x)\| = \|x\|.$

Thm 16: L'ensemble $O(E)$ des endomorphismes orthogonaux de E est un sous-groupe de $GL(E)$, appelé groupe orthogonal de E .

Thm 17: $O(E)$ est engendré par les réflexions orthogonales, et tout élément de $O(E)$ est produit d'au plus n réflexions.

Ex 18: Une translation est produit de deux réflexions.

Déf 19: On appelle renversement de E une symétrie de E dont le sous-espace propre E_{-1} est de dimension 2.

Ex 20: les renversements de \mathbb{R}^3 sont les rotations axiales.

Thm 21: En dimension 3, $SO(E)$ est engendré par les renversements.

Thm 22: Soient E et E' deux espaces euclidiens de même dimension, (A, e_1, \dots, e_n) un repère orthonormé de E , $f: E \rightarrow E'$ une application affine. Les conditions suivantes sont équivalentes.

(i) f est isométrique (ii) of est orthogonale

(iii) $(f(A), v_f(e_1), \dots, v_f(e_n))$ est un repère orthonormé de E'

Cor 23: E est isomorphe à l'espace euclidien canonique $\mathbb{E}_n(\mathbb{R})$, où \mathbb{R}^n est muni du produit scalaire canonique.

2) Les groupes diédraux

Déf 24: Soit P_n un polygone régulier convexe à n sommets dans $\mathbb{E}_2(\mathbb{R})$. On nomme groupe diédral d'ordre n et on note D_n le groupe des isométries de $\mathbb{E}_2(\mathbb{R})$ qui laissent P_n invariant.

Lem 25: $D_n = \langle r, s \rangle$ où r est la rotation d'angle $\frac{2\pi}{n}$ et s la symétrie par rapport à la droite passant par un sommet de P_n et le sommet opposé si n est pair le milieu du côté opposé si n est impair (cf figure 2). On a $r^n = s^2 = (sr)^2 = 1$.

Rmq 26: En particulier, $D_3 \cong S_3$.

3) Isométries des solides de Platon

Thm 27: Soit T tétraèdre régulier dans $\mathbb{E}_3(\mathbb{R})$, $Is(T)$ le groupe des isométries qui préservent T , $Is^+(T)$ le groupe des isométries positives qui préservent T . On a:

$$Is(T) \cong \mathcal{O}_4 \quad ; \quad Is^+(T) \cong \mathcal{I}_4.$$

pour K cube dans $\mathbb{E}_3(\mathbb{R})$, avec les mêmes notations:

$$Is(K) \cong \mathcal{O}_4 \times \mathbb{Z}/2\mathbb{Z} \quad ; \quad Is^+(K) \cong \mathcal{O}_4$$

Lem 28: Tout sous-groupe fini d'ordre $n > 2$ du groupe des déplacements de $\mathbb{E}_3(\mathbb{R})$ est isomorphe à $\langle U_n \rangle$, à $\langle D_{n/2} \rangle$ (n étant alors pair), ou à \mathcal{I}_4 , \mathcal{O}_4 ou \mathcal{I}_5 .

4) Quaternions et géométrie

Déf 29: On note H la \mathbb{R} -algèbre de dimension 4, nommée algèbre des quaternions, munie d'une base $1, i, j, k$ telle que:

(i) 1 est neutre pour la multiplication;

(ii) $i^2 = j^2 = k^2 = -1$; $ij = -ji = k$; $jk = -kj = i$;

$$ki = -ik = j.$$

Déf 30: Soit $q = a + bi + cj + dk \in H$. On définit le conjugué \bar{q} de q par: $\bar{q} = a - bi - cj - dk$, et la norme $N(q)$ de q par

$$N(q) = q\bar{q} = a^2 + b^2 + c^2 + d^2.$$

Lem 31: $\forall q \in H, N(q) \in \mathbb{R}^+$.

Prop 32: N est une forme quadratique euclidienne sur H . La base $(1, i, j, k)$ est orthonormée relativement à N , et la conjugaison est une symétrie orthogonale d'espaces propres \mathbb{R} et $P = \{bi + cj + dk \mid (b, c, d) \in \mathbb{R}^3\}$.

Th 33: H est un corps non commutatif de centre \mathbb{R} , et $N: H^* \rightarrow \mathbb{R}^*$ est un morphisme de groupes surjectif de noyau G , le groupe des quaternions de norme 1.

Rmq 34: $G \cong S^3$; en particulier, G est connexe.

Thm 35: On a un isomorphisme de groupes

$$\iota: G / \{1, -1\} \xrightarrow{\sim} SO_3(\mathbb{R}) \quad \text{DÉV 2}$$

Rmq 36: les quaternions fournissent donc un outil algébrique pour représenter les rotations dans l'espace (utilisé en simulation 3D).

II/ Droites projectives

1) Espaces projectifs et homographies:
On considère ici $\mathbb{K} = \mathbb{R}$ ou \mathbb{C} , et E et E' deux \mathbb{K} -espaces vectoriels de dimension finie.

Déf 37: On nomme espace projectif déduit de E et on note $P(E)$ l'ensemble des droites vectorielles de E , soit $E^{\perp 0}$ quotienté par la relation de colinéarité. Par définition, $\dim(P(E)) = \dim(E) - 1$. En particulier, on note $P_3(\mathbb{K}) = P(\mathbb{K}^2)$ la droite projective sur \mathbb{K} .

Rmq 38: On peut considérer $P_3(\mathbb{K})$ comme une droite affine de \mathbb{K}^2 complétée par un point à l'infini (cf. figure 3).

Déf 39: Soient $p: E^{\perp 0}$ et $p': E'^{\perp 0}$ les deux projectives. On appelle homographie une application $g: P(E) \rightarrow P(E')$ telle qu'il existe un isomorphisme linéaire $f: E \rightarrow E'$ rendant le

diagramme suivant commutatif :

$$\begin{array}{ccc} E^{\perp 0} & \xrightarrow{f} & E'^{\perp 0} \\ p \downarrow & & \downarrow p' \\ P(E) & \xrightarrow{g} & P(E') \end{array}$$

Prop et déf 40: L'ensemble des homographies de $P(E)$ forment le groupe projectif $GP(E)$ de E .

Cor 41: $GP(E) \cong GL(E)/H$.

Appli 42: théorème de Pappus généralisé (cf. figure 4).

2) Droite projective complexe et biappart

Prop 43: Toute homographie de $P_3(\mathbb{C})$ s'écrit $z \mapsto \frac{az+b}{cz+d}$ avec $ad - bc \neq 0$, et avec les

conventions habituelles $1/\infty = 0$, $1/0 = \infty$.

Déf 44: L'image de $d \in P_3(\mathbb{C})$ par l'unique homographie $P_3(\mathbb{C}) \rightarrow \mathbb{C}P^1$ qui envoie a sur a , b sur 0 et $c = 1$ est nommée biappart de (a, b, c, d) et notée $[a, b, c, d]$.

Prop 45: Soient a, b, c, d quatre points de $P_3(\mathbb{C})$ dont les trois premiers sont distincts, alors :

$$[a, b, c, d] = \frac{d-b}{d-a} / \frac{c-b}{c-a}$$

Prop 46: le groupe $GP(\mathbb{C}^2)$ est engendré par les similitudes directes $z \mapsto az + b$ ($a \neq 0$) et $z \mapsto \frac{1}{z}$.

Prop 47: Quatre points de \mathbb{C} sont alignés ou cocycliques si et seulement si leur biappart est réel.

Cor 48: Toute homographie de $P_3(\mathbb{C})$ transforme un cercle ou une droite de \mathbb{C} en un cercle ou une droite de \mathbb{C} .

Thm 49: Soit $a, b, c, d, a', b', c', d'$ huit points distincts de \mathbb{C} , alors

$$[a, b, c, d][b, c, a', d'][c, a, b', d'][a', b', c, d][b', c', a, d][c', a', b, d] = 1$$

Appli 50: Pivot d'un triangle (cf. figure 5).

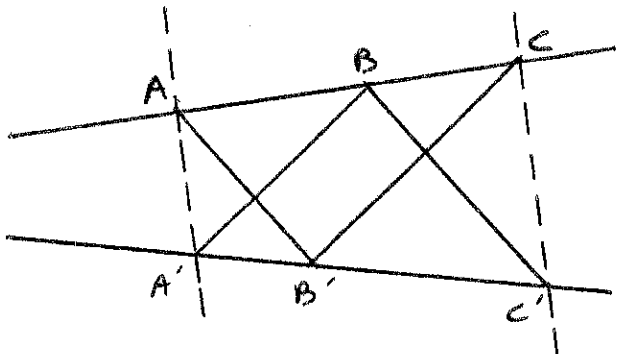


Figure 1: théorème de Pappus.

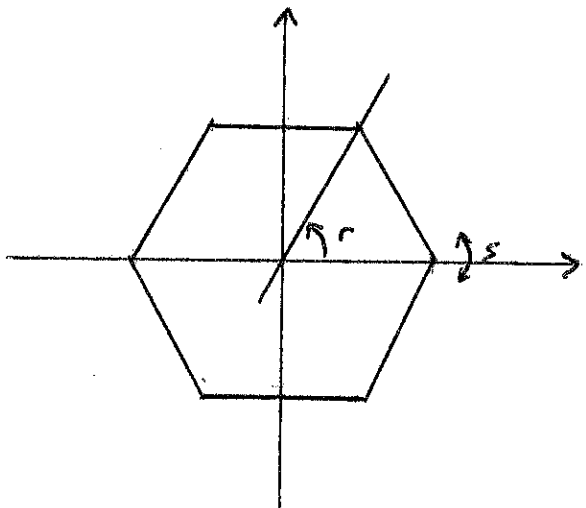


Figure 2: générateurs de D_6 .

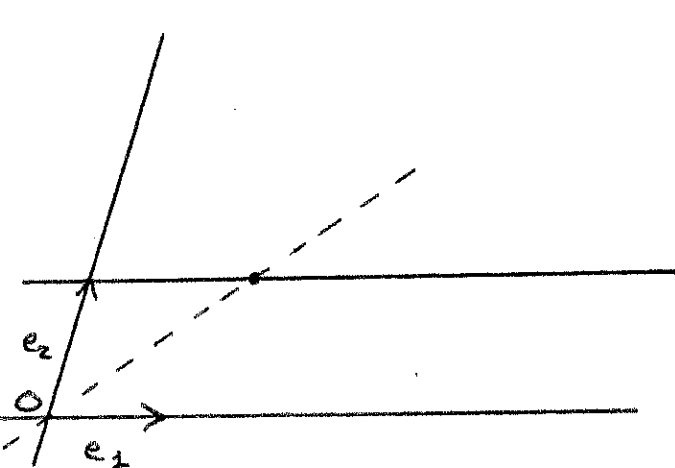


Figure 3: $P_2(\mathbb{K})$ considérée comme la droite $y=1$, complétée par un point à l'infini sur lequel se projette la droite (O, e) .

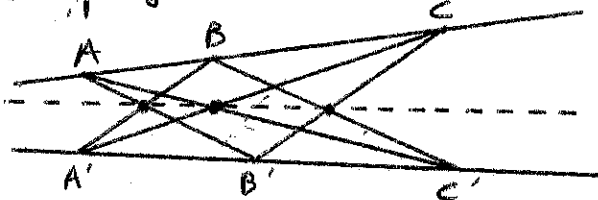


Figure 4: théorème de Pappus généralisé.

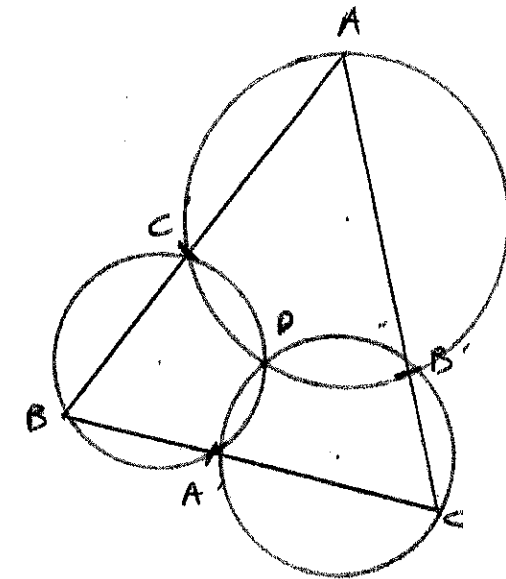


Figure 5: Pivot.

RÉFÉRENCES

- [AUD] Michèle Audin, "Géométrie", EPP Sciences, 2009
- [COM] François Combes, "Algèbre et géométrie", Béal Éditions, 1998
- [H2G2] Philippe Caldero et Séjane Germani, "Histoires hédonistes de groupes et de géométries, Tome premier", Calvage & Flament, 2013
- [PER] Daniel Perrin, "Cours d'algèbre", Ellipses, 2008

Isomorphisme exceptionnel :

Théorème: Soit G le groupe des quaternions de norme 1. On a un isomorphisme

$$\bar{\pi}: G/\{1; -1\} \xrightarrow{\sim} SO_3(\mathbb{R})$$

démonstration:

Rappel: Soit $(q_1, q_2) \in \mathbb{H}^2$, $\frac{q_1 q_2}{N(q_2)} = \bar{q}_2 \bar{q}_1$, $N(q_1) = q_1 \bar{q}_1$, $N(q_1 q_2) = N(q_1) N(q_2)$.
et $q_1^{-1} = \frac{1}{N(q_1)} \bar{q}_1$.

o) \mathbb{H} est non commutatif donc \mathbb{H}^* opère sur \mathbb{H} par automorphismes intérieurs de façon non trivial. On peut se restreindre à l'action de G sur \mathbb{H} , car si $g \in \mathbb{H}^*$, il s'écrit $g = \lambda q$ avec $\lambda = \sqrt{N(g)}$ et $q \in G$ et lorsque \mathbb{R} est central dans \mathbb{H} , il ne donne rien dans les automorphismes intérieurs.
On pose donc pour $g \in G$:

$$Sg: \begin{cases} \mathbb{H} & \longrightarrow \mathbb{H} \\ q & \mapsto q' = q^{-1}q = q \bar{q}' \bar{q} \end{cases}$$

Now allons étudier cette action et montrer qu'elle donne une représentation du groupe $SO_3(\mathbb{R})$ par le groupe G .

1) L'application $Sg: \mathbb{H} \rightarrow \mathbb{H}$ est \mathbb{R} -linéaire et vérifie:

$$Sg \circ Sg(q) = \bar{q} q' \bar{q} = \underbrace{N(q)}_{=1} q' N(q) = q', \quad \forall q \in \mathbb{H}.$$

Donc $Sg \circ Sg = id_{\mathbb{H}}$. En identifiant \mathbb{H} à \mathbb{R}^4 , on a l'application:

$$S: \begin{cases} G & \longrightarrow GL_4(\mathbb{R}) \\ g & \mapsto Sg \end{cases}$$

2) Montrons que S est un homomorphisme et que $\text{Ker}(S) = \{-1, 1\}$:

$$\text{Soit } (q_1, q_2) \in G^2, \quad S(q_1 q_2)(q') = q_1 q_2 q' \bar{q}_2 \bar{q}_1 = q_1 q_2 q' q_2 \bar{q}_1 = S_{q_2} \circ S_{q_1}(q') = S_{q_1} \circ S_{q_2}(q').$$

Calculons le noyau: Soit $g \in G$ tel que $Sg = id_{\mathbb{H}}$, alors $g q' \bar{q} = q' \bar{q} = q$, et $q' = q$, donc $q q' = q q' \forall q \in \mathbb{H}$. Ainsi $q \in Z(\mathbb{H}) \cap G$, on $Z(\mathbb{H})$ est le centre de \mathbb{H} , c'est à dire de dimension 4 et $a \in \mathbb{R}$: $Sg(a) = g a g^{-1} = a q q^{-1} = a$ donc $Sg|_{\mathbb{R}} = id_{\mathbb{R}}$.

3) Soit $g \in G$ et $a \in \mathbb{R}$: $Sg(a) = g a g^{-1} = a q q^{-1} = a$ donc $Sg \in O(N) \cong O_4(\mathbb{R})$.
4) La norme $N(q) = q \bar{q} = \bar{q} q$ est une forme quadratique réel définie positive sur \mathbb{H} .
de forme bilinéaire associée $\langle q, q' \rangle = \frac{1}{2} (q \bar{q}' + q' \bar{q})$. (\mathbb{H}, N) est ainsi un \mathbb{R} -espace de dimension 4 et $(1, i, j, k)$ en est une base orthonormée.

Notons que $Sg \in O(N) \cong O_4(\mathbb{R})$ et $g \in G$:
Soit $q \in G$ et $q' \in \mathbb{H}$: $N(Sg(q)) = N(q q' \bar{q}) = \underbrace{N(q)}_{=1} N(q') N(\bar{q}) = N(q')$
Donc Sg est un élément du groupe orthogonal euclidien défini par N .
Ainsi $S: G \longrightarrow O_4(\mathbb{R})$.

5) Nous savons que Ω , l'ensemble des quaternions purs, est stable par S_q , $\forall q \in G$:

•) Pour N , Ω est l'orthogonal de \mathbb{R} . En effet $\langle p, n \rangle = 0$ si et seulement si n est petit réel $\langle q, n \rangle = 0 \forall n \in \mathbb{R}$ alors $q + \bar{q} = 0$ donc $N(q) = \bar{q}q = q^2$ et $q^2 \in \mathbb{R}$ ce qui entraîne que $p \in \Omega$ par caractérisation des quaternions purs.

-) On a montré qu'à quel point, S_q laisse stable \mathbb{R} , que $S_q \in GL(N)$ et que

$\Omega \cap \mathbb{R}$ donc S_q laisse Ω stable.

On pose alors $N_q = S_q \Omega$, on a $N_q \in O(N|\mathbb{R}) \cong O_3(\mathbb{R})$ et :

$$\begin{aligned} \lambda : \left\{ \begin{array}{l} G \longrightarrow O_3(\mathbb{R}) \\ q \longmapsto N_q \end{array} \right. \end{aligned}$$

6) L'application $O_3(\mathbb{R})$ de sa topologie naturelle obtenue en la considérant comme sous-ensemble de $M_3(\mathbb{R})$, lui-même identifié à \mathbb{R}^9 . L'application λ est alors continue, comme on le voit en calculant la matrice de N_q dans la base i, j, k . En effet, si $q = a + bi + cj + dk$, les coefficients de la matrice sont des polynômes homogènes de degré 2 en a, b, c, d . Par exemple: $N_q(i) = Q(i\bar{q}) = (a + bi + ci + di)(\bar{a} + \bar{b}i + \bar{c}j + \bar{d}k) = (a + bi + cj + dk)(a + b - ck + dj)$

$$= a^2i + ab - ack - ad + b^2i + bci + bdk - ack + dj - c^2i - cd + adj + bdk + cdij$$

$$\text{d'où } N_{q,i} = a^2 + b^2 + c^2 + d^2, \quad N_{q,ii} = 2(ad + bc), \quad N_{q,31} = 2(bd - ac).$$

Mais, le déterminant, déf : $O_3(\mathbb{R}) \xrightarrow{\det} \mathbb{R}^*$, est lui aussi une application continue. Or si l'on identifie \mathbb{H} à \mathbb{R}^4 muni de sa topologie naturelle, on voit que λ est homéomorphe à S^3 et un particulier connexe.

Donc l'image de G par λ est connexe, donc un singleton, et comme $\lambda(1) = id_{\mathbb{R}^3}$, c'est nécessairement $\{1\}$. Autrement dit $\lambda(G) \subset SO_3(\mathbb{R})$.

7) Restons enfin que $\lambda(G) = SO_3(\mathbb{R})$:

Soit $p \in \Omega \cap G$. On calcule $A_p(p) = pp\bar{p} = p$, donc A_p fixe p et est une rotation d'axe p .

D'autre part, comme $p \in \Omega \cap G$, on a $\bar{p} = -p$ donc $p^2 = -p\bar{p} = -1$ et $(A_p)^2 = A_{-1} = id_{\mathbb{R}^3}$, donc A_p est une involution.

On est donc le renversement d'axe $\langle p \rangle$. On obtient ainsi tous les renversements de $SO_3(\mathbb{R})$, et comme ils engendrent le groupe, on a bien $\lambda(G) = SO_3(\mathbb{R})$.

Finalement, d'après la première 'Hésitance d'isomorphisme', on a :

$$G/\langle i, j, k \rangle \cong SO_3(\mathbb{R})$$

Théorème 1: Soit τ un tétraèdre régulier alors $Is(\tau) \cong S_4$ et $Is^*(\tau) \cong A_4$.

démonstration :

- Soit $\tau := ABCD$ un tétraèdre régulier . Soit $\varphi \in Is(\tau)$ une isométrie du tétraèdre ; alors φ conserve les distances donc φ laisse stable $S = \{A, B, C, D\}$.
Faisons donc agir $Is(\tau)$ sur S :

$$\varphi : \begin{cases} Is(\tau) & \longrightarrow S(A, B, C, D) \cong S_4 \\ f & \longmapsto \begin{pmatrix} A & B & C & D \\ f(A) & f(B) & f(C) & f(D) \end{pmatrix} \end{cases}$$

- φ est un homomorphisme car les isométries conservent les distances.

- Démontrons que φ est fidèle (injectivité) :

Soit $f \in Is(\tau)$ telle que $\varphi(f) = id_S$. Alors f l'application affine f fixe le repère affine $S = \{A, B, C, D\}$ donc $f = id_{\mathbb{R}^3}$.
Ainsi φ est injectif : $Is(\tau) \hookrightarrow S_4$.

- Démontrons que φ est surjectif :

Soit η le milieu de $[AB]$, la reflexion par rapport au plan BCD laisse fixe C et D , et permute les normaux A et B .

Ainsi la permutation $(A; B)$ a un antécédent par φ . De même, on montre qu'en tenant la permutation de $S(A, B, C, D)$ sont dans $\varphi(Is(\tau))$.
Or S_4 est engendré par les permutations donc $\varphi(Is(\tau)) = S_4$.

Ainsi φ est surjectif : $Is(\tau) \cong S_4$.

- $Is^*(\tau)$ est un sous-groupe d'indice 2 dans $Is(\tau)$: En effet, soit $g \in Is^*(\tau)$ alors l'application $\begin{cases} Is(\tau) & \longrightarrow Is^*(\tau) \\ f & \longmapsto fog \end{cases}$ est bijective et S_4 est le seul sous-groupe d'indice 2 de S_4 donc $Is^*(\tau) \cong A_4$.

Théorème 2: Soit K un cube alors $Is(K) \cong S_4 \times \mathbb{Z}/2\mathbb{Z}$ et $Is^*(K) \cong S_4$.

démonstration :

- Démontrons que $Is(K) \cong S_4 \times \mathbb{Z}/2\mathbb{Z}$. Il y a nous admettra plus qu'à montrer que $Is^*(K) \cong S_4$.
Soit O le centre du cube K et $g \in Is(K)$. Comme les isométries laissent stable les barycentres, $g(O) = O$ en tant qu'isobarycentre de K .
Soit A_0 la symétrie de centre O . Si on vectorise cette symétrie on obtient l'application linéaire associée à A_0 qui est $-Id$ et donc $A_0 g = g A_0$. Ceci étant vrai pour tout $g \in Is(K)$, l'application $\begin{cases} Is(K) & \longrightarrow S_4 \times \mathbb{Z}/2\mathbb{Z} \\ g & \longmapsto \begin{cases} (g, -1) & \text{si } g \in Is^*(K) \\ (g, 1) & \text{sinon} \end{cases} \end{cases}$

2) Les grande diagonales du cube sont les segments de longueur maximale reliant deux sommets du cube. Il y en a exactement 6. On les note D_1, D_2, D_3, D_4 . Soit $g \in \text{Is}^+(K)$, g conserve donc les distances et laisse stable $D = \{D_1, D_2, D_3, D_4\}$.

Faisons donc agir $\text{Is}^+(K)$ sur D :

$$\psi: \text{Is}^+(K) \longrightarrow \mathcal{S}(D_1, D_2, D_3, D_4) \cong S_4$$

$$g \longmapsto (D_1 \ D_2 \ D_3 \ D_4 \ D_5 \ D_6 \ D_7 \ D_8) \\ g(D_1) \ g(D_2) \ g(D_3) \ g(D_4)$$

3) ψ est un homomorphisme. Car les isométries conservent les distances.

4) Rappelons que ψ est fidèle :

Soit $g \in \text{Is}^+(K)$ telle que $\psi(g) = \text{id}_D$, c'est à dire $g(D_i) = D_i \forall i \in \{1, 4\}$. Donc g permute A_1 et B_1 sans laisser fixes les deux, et ce pour tout i de $\{1, 4\}$.

5) Supposons que $g(A_1) = A_2$ et donc $g(B_1) = B_2$, et $g(D_i) = D_i \forall i \in \{2, 3\}$. Comme $A_1 A_2 \neq A_1 B_2$ et que g est une isométrie, on a $g(A_2) = A_2$ et $g(B_2) = B_2$. De même $g(A_4) = A_4$.

Mais g préserve le repère affine (A_2, A_3, B_2, A_4) , donc $g = \text{id}_{B_2}$.

6) Supposons que $g(A_1) = B_1$ et donc $g(A_4) = A_1$. D'après ce qui précède, $A_0 \circ g = \text{id}_{B_1}$. Or $A_0 \in \text{Is}^+(K)$, $g \in \text{Is}^+(K)$ et $\text{id}_{B_1} \in \text{Is}^+(K)$.

On a donc une contradiction.

Alors, ψ est injectif : $\text{Is}^+(K) \hookrightarrow S_4$.

7) Montrons que ψ est surjectif :

Soit A milieu de $[A_1 A_2]$ et B milieu de $[B_1 B_2]$. La notation d'angle π autour de l'axe (AB) laisse stable D_3 et D_4 et permute D_1 et D_2 . La permutation $(D_1; D_2)$ a donc un antécédent par ψ . Il en va de même pour toutes les permutations, or S_4 est engendré par les permutations, donc ψ est surjectif.

Finalement $\text{Is}^+(K) \cong S_4$ et donc $\text{Is}(K) \cong S_4 \times \mathbb{Z}/2\mathbb{Z}$.

